

## Pseudomonas sp. Strain DJ77에서 phnF 유전자의 구조

이성훈 · 김성재 · 신명수 · 김치경 · 임재윤 · 이기성<sup>1</sup> · 민경희<sup>2</sup> · 김영창\*

충북대학교 생명과학부, <sup>1</sup>배재대학교 생물학과, <sup>2</sup>숙명여자대학교 생물학과

*Pseudomonas* sp. strain DJ77로부터 클로닝한 catechol 분해와 관련된 *phnDEFG* 유전자들이 존재하는 pHENX7에서 *phnF* 유전자의 염기서열을 밝혔다. Extradiol dioxygenase 유전자인 *phnE*와, 2-hydroxymuconic semialdehyde dehydrogenase를 생산하는 *phnG* 유전자 사이에 존재하는 유전자 *phnF*는 432 bps로된 하나의 open reading frame(ORF)으로 존재하였고, 여기서 유추한 아미노산은 143개로 분자량 13,859 dalton의 polypeptide를 만들어내고 있다. *phnF* 유전자는 *Sphingomonas* sp. strain HV3 catE 유전자 부위와 *Sphingomonas yanoikuyae* B1의 *xylE*와 *xylG* 사이에 존재하는 ORF 부위의 염기서열과 각각 99%, 68.6%의 상동성을 가지고 있었다. 또한 PhnF 단백질의 아미노산서열은 *Citrobacter freundii* DSM30040의 *orfY* 부위의 아미노산서열과 62.3%의 상동성이 있었다.

KEY WORDS □ *Pseudomonas* sp. strain DJ77, *phnF* gene

탄화수소 분해와 관련된 많은 유전자들은 대부분 군을 이루어 존재하고 있다. 또한 하나의 유전자군 안에서도 분해 경로와 연관되어 유전자가 위치하고 있는 경우가 많다. Catechol-2,3-dioxygenase(C23O)와 2-hydroxymuconic semialdehyde dehydrogenase(2HMSD), 그리고 2-hydroxymuconic semialdehyde hydrolase(2HMSH)는 catechol 분해경로에서 서로 이웃하고 있는 단계에 각각 작용하는 효소들인데(Fig. 1), 실제로 naphthalene 분해 균주인 *Pseudomonas putida* NCIB9816과 xylene 분해균주인 *P. putida* TOL plasmid pWW0, 그리고 phenol 분해균주인 *Pseudomonas* sp. CF600에서 이들 유전자의 순서는 C23O-2HMSD-2HMSH(각각 *nahH-nahI-nahN*, *xylE-xylG-xylF*, 그리고 *dmpB-dmpC-dmpD*)로 구성되어 있다(1,3).

*Pseudomonas* sp. strain DJ77(4)로부터 클로닝한 재조합 plasmid pHENX7에는 catechol 분해와 관련된 유전자들이 존재하고 있다. 지금까지 연구에서 밝혀진 것처럼 *phnE* 유전자는 catechol-2,3-dioxygenase의 활성을 나타내고 있으며, *phnD* 유전자가 존재한다(6). 2HMSD를 생산하는 *phnG* 유전자는 *phnE* 유전자의 하류방향으로 500 bps 정도 떨어져서 위치하고 있다. *phnF* 유전자는 *phnE* 유전자의 하류쪽에 위치한 1.2-kb의 *PstI-HindIII* 절편을 가지고 있는 pPH12에서 약 15 kDa의 단백질을 합성하는 것으로 확인되었다. 따라서 *Pseudomonas* sp. strain DJ77에서도 앞에서와 비슷하게 2HMSH-C23O-2HMSD의 순서로 유전자가 위치하고 있으며, 특이한 것은 *phnF* 유전자가 C23O와 2HMSD 사이에 존재한다는 것이다(5).

유전자군에 있는 유전자들이 각각 나름대로의 기능을 수행하고 있는 것으로 미루어볼 때 *Pseudomonas* sp. strain DJ77의 유전자군에 끼어있는 *phnF* 유전자도 이 유전자군의

다른 유전자들처럼 phenanthrene 분해에 특정 기능을 수행할 것으로 추정할 수 있다. 본 연구에서는 *phnF* 유전자 부위의 염기서열을 결정하여 *phnF* 유전자의 존재를 확인하고, 이것으로부터 다른 균주들과의 염기서열 혹은 아미노산서열의 상동성을 조사하여 상관관계를 살펴보며, 아울러 효소적인 기능도 알아보았다.

### 재료 및 방법

#### 균주, plasmids 및 배지

본 실험에서 사용한 균주는 이미 보고한 바 있는 *Pseudomonas* sp. strain DJ77(4)이다. 형질전환을 위한 숙주로는 *E. coli* XL1-Blue를 사용하였고, cloning vector로는 pBLUE-SCRIPT SK(+) phagemid(Stratagene)를 사용하였다. 균주 및 plasmids의 특성은 Table 1과 같다. 완전 배지로는 LB(Luria-Bertani)배지를 사용하였다.

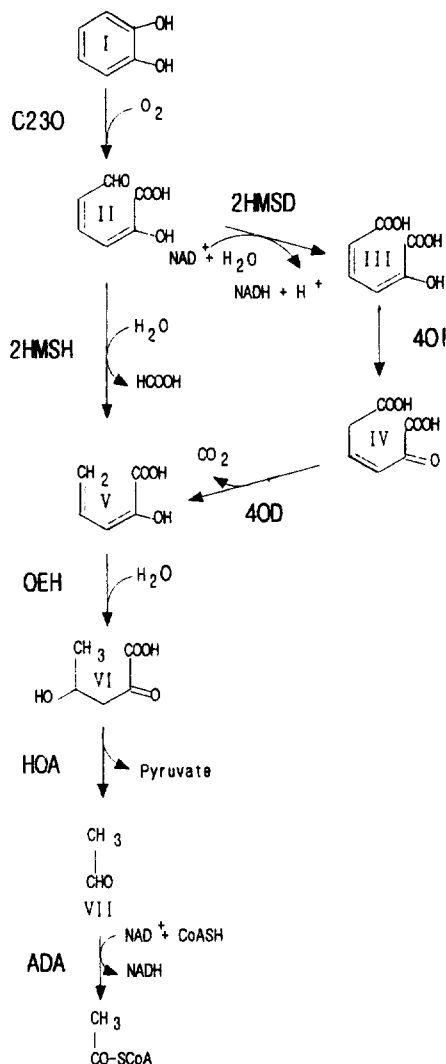
#### DNA 추출 및 조작

*Pseudomonas* sp. strain DJ77의 chromosomal DNA는 Sihavy(9) 등의 방법에 따라 추출하였으며 plasmid DNA는 Sambrook(7) 등의 방법에 따라 추출하였다. 각종 제한 효소 및 T4 DNA ligase 등은 Boehringer Mannheim, POSCOCHEM(남도과학), 그리고 New England Biolab 등으로부터 구입하여 사용하였으며, 반응조건은 제조회사의 처방에 따랐다.

#### 염기서열 결정

Sequenase version 2.0 kit(USB)를 사용하여 Sanger(8) 등의 dideoxy-mediated chain termination 방법으로 *phnF* 유전자 부위의 염기서열을 결정하였다. 5'쪽은 pSE175를 reverse primer(5'-TTCACACAGGAAACAG-3')와 40 primer(5'-GTTTCCCCAGTCACGAC-3')를 이용하여 양쪽 방향으로 sequenc-

\*To whom correspondence should be addressed



**Fig. 1.** Catabolic pathway for the dissimilation of catechol. Compounds: I, catechol; II, 2-hydroxymuconic semialdehyde; III, 4-oxalocrotonate, enol form; IV, 4-oxalocrotonate, keto form; V, 2-Oxopent-4-enoate; VI, 4-hydroxy-2-oxovalerate; VII, acetaldehyde. Enzymes: C23O, catechol-2,3-dioxygenase; 2HMSD, 2-hydroxymuconic semialdehyde dehydrogenase; 2HMSH, 2-hydroxymuconic semialdehyde hydrolase; 4OI, 4-oxalocrotonate isomerase; 4OD, 4-oxalocrotonate decarboxylase; OEH, 2-oxopent-4-enoate hydratase; HOA, 4-hydroxy-2-oxovalerate aldolase; ADA, acetaldehyde dehydrogenase (acylating).

ing하였으며, 3'쪽은 pHY2E를 reverse primer로 sequencing하였다. 또한 SK(+) vector가 phagemid으로 helper phage인 KO7을 이용하여 single strand DNA를 추출하여 주형으로 사용, sequencing하였다.

#### Catechol 2,3-dioxygenase 활성

항생제(Ampicillin, 100 µg/ml)가 들어 있는 고체 배지에 균을 도말하여 하룻밤 동안 배양하였다. 생성된 colony 위에 100 mM catechol을 살포함으로써 노란색 화합물(2-hydroxymuconic semialdehyde)의 생성속도를 측정하였다.

**Table 1.** Bacterial strains and plasmids used in this study

Strains of plasmids	Descriptions	Sources
Strains		
<i>Pseudomonas</i> sp. DJ77	Grows with phenanthrene, 4-chlorobiphenyl and benzoate	4
<i>E. coli</i> XL1-Blue	<i>supE44hsdR17recA1endA1gyrA</i> <i>46thirelA1lac</i> Δ( <i>lac proAB</i> ) <i>F[proAB' lacI lacZΔM15Tn10(tet)]</i>	
Plasmids		
pBluescript SK(+)	Ap' cloning and sequencing vector	Stratagene
pHENX7	6.8 kb <i>Xba</i> I fragment from DJ77 inserted into SK(+)	5
pSH15	1.5 kb <i>Sal</i> I- <i>Hind</i> III fragment of pHENX7 in SK(+)	5
pPE17	1.7 kb <i>Pst</i> I- <i>Eco</i> RI fragment of pHENX7 in SK(+)	5
pE3	1.2 kb <i>Pst</i> I- <i>Eco</i> RI fragment of pPE17 in SK(+)	This work
pPH22	2.2 kb <i>Pst</i> I- <i>Hind</i> III fragment of pHENX7 in SK(+)	This work
pPH12	1.2 kb <i>Pst</i> I- <i>Hind</i> III fragment of pPH22 in KS(+)	This work

## 결과 및 고찰

#### *phnF* 유전자의 염기서열

pSE175는 *phnF*의 5'쪽 부위를 포함하고 있으며 약 200 bps 내외의 크기이다. 이것은 한 번에 읽을 수 있는 범위(최대 약 300 bps까지)이나 양쪽 strand를 sequencing하여 비교함으로써 더 정확성을 높였다. pHY2E는 *phnF* 유전자의 3'쪽과 *phnG* 유전자의 5'쪽을 포함하고 있으며, 약 500 bps 내외의 크기이다.

Fig. 2에서 보는 것처럼 유전자 *phnF*는 개시코돈(ATG)과 종결코돈(TGA)을 가진 432 bps로 이루어진 open reading frame(ORF)이다. Ribosome binding site로 생각되는 염기서열(5'-GGTGA-3')은 이 ORF의 개시코돈으로부터 10 bps 앞에 존재하였다. 이 ORF의 G+C 함량은 67.1%로, 유전자 *phnD* (60.5%, submitted)와 *phnE*(57.4%, 6)보다 높았다. 이 ORF에서 유추한 아미노산은 143개이며 이들이 암호화하고 있는 단백질의 분자량은 13,859 dalton으로 전보(5)에서 언급한 바와 같이, PhnF를 갖는 재조합 plasmid pHENX7이나 pPE17 등에서 만들어지는 SDS-PAGE 결과와 거의 일치하였다.

#### *phnF* 유전자와 단백질의 상동성 분석

*phnF* 유전자의 염기서열과 상동성이 있는 다른 균주들을 blastn을 통하여 조사하여 본 결과 비교적 염기서열의 상동성이 높은 균주로는 *Sphingomonas* sp. strain HV3 *catE* 유전자(GenBank accession number L10655)의 하류부위(10)와 *S. yanoikuyae* B1의 *xylE*와 *xylG* 사이에 존재하는 ORF 부위(12)로 각각 99%, 68.6%의 상동성을 가지고 있었다. 특히

5' CGCTTCATGACGGTGAACACCTGATCATGGACGGGTGGTTCGGTCCGGACAGTAGGCC 60  
*phnF* M D G V V S V R T V G H  
 ACGAATTGGCGCTCAAGGCAGCGGCTGCCGCCGTTGCCATGGGTGC~~GGC~~GGCGGGCTGTC 120  
 E L A L K A A A A A V A M G A A A A G C P  
 CGGTGTTGCCGCCGTTGGTCGGCGGGGGAGACCTGGTCGCGT~~CG~~CGCCAGCG 180  
 V V A A V V G A G G D L V A F V R A S G  
 GCTCCCCTCGCCGTCTGCAAAGATCGCGCAGGACAAGGCTTACAGCGCCGCCAGCTCC 240  
 S P S P S A K I A Q D K A Y S A A S F R  
 GCGTCCCAGC~~G~~CCGGATCTATGC~~G~~ATGGTT~~C~~GGCAATCCGGC~~T~~TGCGCAGGG 300  
 V P T P D L Y A M V S G N P A L R D G I  
 TCGTCGCCAGCCGGGAATAGCGATGTTGCCGCC~~G~~CTACCGATCGAAATTGCCGGTG 360  
 V A Q P G I A M F G G G L P I E I A G E  
 AATTCTCGTGGTGCATTGGTATTCCGGCGGGAGCGAAGCGATGGACGTCGAGTACGCCA 420  
 F V G A I G I S G G S E A M D V E Y A N  
 ACGCCGGCCTCGCTCGATCGCGCAAGGCAATTCTGACGCCCATGGTTCTGGCAAAA 3' 480  
 A G L A A I G A R Q F \*

**Fig. 2.** Nucleotide sequence of the *phnF* of *Pseudomonas* sp. strain DJ77(GenBank accession number U87631). A putative ribosome binding site is underlined. The amino acid sequence deduced from the nucleotide sequence is also shown.

<i>phnF</i>	ATGGACGGGTGGTTTCGGTCCGGACAGTAGGCCACGAATTGGCGCTCAAGGCAGCGGCT	60
<i>catX</i>	ATGGACGGGTGGTTTCGGTCCGGACAGTAGGCCACGAATTGGCGCTCAAGGCAGCGGCT	60
<i>phnF</i>	GCCGCCGTTGCCATGGGTGCCGCCGCCGGCTGTCCGGT <del>C</del> GGT <del>C</del> GGTGGT <del>C</del> GGCG 120	
<i>catX</i>	GCCGCCGTTGCCATGGGTGCCGCCGGCTGTCCGGT <del>C</del> GGT <del>C</del> GGTGGT <del>C</del> GGCG 120	
<i>phnF</i>	GGGGGAGACCTGGTCGGT <del>C</del> GTGCCGCCAGCGGCTCCCTTCGGCGTCTGCAAAGATC 180	
<i>catX</i>	GGGGGAGACCTGGTCGGT <del>C</del> GTGCCGCCAGCGGCTCCCTTCGGCGTCTGCAAAGATC 180	
<i>phnF</i>	GCGCAGGACAAGGCTTACAGGCCGCCAGCTCCGGT <del>C</del> CCAGGCCGGATCTCTATGCG 240	
<i>catX</i>	GCGCAGGACAAGGCTTACAGGCCGCCAGCTCCGGT <del>C</del> CCAGGCCGGATCTCTATGCG 240	
<i>phnF</i>	ATGGTTTCGGCAATCCGGCTTGC <del>G</del> GACGGATCGTCGCCAGCCGGAAATACGATG 300	
<i>catX</i>	ATGGTTTCGGCAATCCGGCTTGC <del>G</del> —ACGGGATCGTCGCCAGCCGGAAATACGATG 300	
<i>phnF</i>	TTCGGCGGCCCTACCGATGAAATTGCCGGTGAATTCTCGGT <del>G</del> ATTGGTATTCC 360	
<i>catX</i>	TTCGGCGGCCCTACCGATGAAATTGCCGGTGAATTCTCGGT <del>G</del> ATTGGTATTCC 360	
<i>phnF</i>	GGCGGGAGCGAACGGATGGACGT <del>C</del> GAGTACGCCAACGCCGCC <del>T</del> CGCTGCCATGGCGCA 420	
<i>catX</i>	GGCGGGAGCGAACGGATGGACGT <del>C</del> GAGT 388	
<i>phnF</i>	AGGCAATTCTGA 432	

**Fig. 3.** Comparison of nucleotide sequence of the *phnF* gene from *Pseudomonas* sp. strain DJ77 with that of the *catX* from *Pseudomonas* sp. strain HV3(GenBank accession number L10655). Identical necleotides between the sequences are indicated by colons.

한 것은 *Sphingomonas* sp. strain HV3 *catE* 유전자 부위로서 *phnF* 유전자와 2개의 결실된 염기부분을 제외하면 100%의 상동성이 있었다(Fig. 3). Blastp를 통하여 조사했을 때에는 *Citrobacter freundii* DSM30040의 *orfY* 부위(GenBank

accession number U09771)와 62.8%의 상동성을 발견하였다(Fig. 4). *orfY*는 glycerol 분해에 관여하는 유전자군 중에 1, 3-propanediol dehydrogenase 유전자 *dhaT*와 glycerol dehydratase 유전자 *dhaB* 사이에 위치하고 있는 ORF로 생성 단

<i>PhnF-DJ77</i>	M D G V V S V R T V G H E L A L K A A A A V A M G A A A G C P V V A A V V G A G G D L V A F V R A	50
<i>OrfY-DSM</i>	M N K S Q Q I A T I T L A A A K K M A Q A V E A K A L E I N V P V V F S V V D H G G N T L L M Q R M	50
<i>PhnF-DJ77</i>	S G S P S P S A K I A Q D K A Y S A A S F R V P T P D L Y A M V S G N P A L R D - G I V A Q P G I A	99
<i>OrfY-DSM</i>	D D A F V T S C D I S L N K A Y T A C C L R Q G T H E I T D A V Q P G A S L Y G L Q L T N Q Q R I V	100
<i>PhnF-DJ77</i>	M F G G G L P I E I A G E F V G A I G I S G G S E A M D V E Y A N A G L A A I G A R Q F	143
<i>OrfY-DSM</i>	I F G G G L P V I L N G K V I G A V G V S G G T V E Q D R L L A E T A L D C F S E L --	142

Fig. 4. Amino acid sequence alignments of homologous region of the PhnF and OrfY of *Citrobacter freundii* DSM30040 (GenBank accession number U09771).

백질의 정확한 기능은 아직 보고되지 않았다(2).

#### 탄화수소 분해 관련 유전자군과의 비교

탄화수소 분해에 관여하고 있는 유전자들은 대부분 plasmid나 chromosome 상에서 하나 혹은 그 이상의 군을 이루어 존재하고 있다. Naphthalene 분해유전자의 경우 naphthalene $\rightarrow$  salicylate로 분해되는데 관여하는 효소유전자들이 operon I(또는 upper pathway operon)을 이루고 있으며, salicylate가 pyruvate로 분해되는데 관여하는 효소유전자들이 operon II(또는 lower pathway operon)를 이루고 서로 인접하여 존재한다(11). 또한 이 operon I이나 operon II 등 하나의 유전자군 안에서도 분해경로에 따라서 유전자가 연관되어 위치하고 있는 경우가 대부분이다. Fig. 1에서 보는 것처럼, catechol-2,3-dioxygenase(C23O)와 2-hydroxymuconic semialdehyde dehydrogenase(2HMSD), 그리고 2-hydroxymuconic semialdehyde hydrolase(2HMSH)는 catechol 분해경로에서 서로 이웃하고 있는 단계에 각각 작용하는 효소들인데, Fig. 5에서처럼 실제로 naphthalene 분해 균주인 *P. putida* NCIB-9816과 xylene 분해균주인 *P. putida* TOL plasmid pWW0, 그리고 phenol 분해균주인 *Pseudomonas* sp. CF600에서 유전자의 순서는 C23O-2HMSD-2HMSH(각각 nahH-nahI-nahN, xylE-xylG-xylF, 그리고 dmpB-dmpC-dnpD)로 모두 같은 양상을 보이고 있다(1,3). 특히 이런 양상은 여러 lower pathway operon 중에서 branch enzyme 즉, 2HMSD를 가지고 4-oxalocrotonate를 만들 수 있는 세균들에서만 볼 수 있을 뿐이다.

전보(5)에서 밝힌 것처럼 *phnF* 유전자의 상류부분에는 2HMSH를 암호화하고 있는 *phnD* 유전자와 catechol-2,3-dioxygenase의 활성을 나타내는 *phnE* 유전자가 위치하고 있으며, 2HMSD를 생산하는 유전자 *phnG*는 *phnF* 유전자의 하류방향에 존재하고 있다. 이렇게 볼 때 DJ77에서 세 유전자의 순서(2HMSH-C23O-2HMSD)는 앞의 세 가지 균주의 예와 다르며, 이것은 탄화수소분해균주들의 진화적인 변화에 의한 차이로 생각할 수 있다. 그러나 유전자 *phnF*가 C23O와 2HMSD의 사이에 위치하는 것이 특이하다. 기본적으로 탄화수소분해경로에 관련된 유전자군에 있는 유전자들이 각각 나름대로의 기능을 수행하고 있는 것으로 미루어 볼 때 *Pseudomonas* sp. strain DJ77의 탄화수소분해 유전자군에 끼어 있는 유전자 *phnF*도 이 유전자군의 다른 유전자들처럼 phenanthrene 분해에 특정 기능을 수행할 것으로 생-

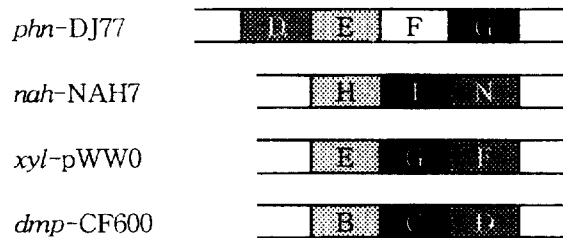


Fig. 5. Organization of *phn* operon in *Pseudomonas* sp. strain DJ77 and comparison with *nah* operon in *Pseudomonas putida* NCIB9816, *xyl* operon in *P. putida* TOL plasmid pWW0, and *dmp* operon in *Pseudomonas* sp. CF600. Enzymes: [diagonal lines], Catechol 2,3-dioxygenase; [cross-hatch], 2-Hydroxymuconic semialdehyde hydrolase; [solid black], 2-Hydroxymuconic semialdehyde dehydrogenase.

각된다.

#### *phnF* 유전자의 기능

유전자 *phnF*는 비교적 작은 ORF이고 Fig. 5에서처럼 2-hydroxymuconic semialdehyde dehydrogenase를 가진 오페론에서만 C23O, 2HMSD, 2HMSH 등 세 개 유전자의 순서가 유지되는 것으로 보아 기능이 있는 유전자일 수도 있지만 기능이 사라진 pseudogene일 수도 있다. 그러나 전보(5)에서 *phnF* 유전자는 이 ORF에 해당하는 polypeptide를 형성하는 것으로 밝혀졌다. 더욱이 *phnF* 유전자가 유전자군에 의미없이 존재하는 ORF라면 이 부위와 상동성을 갖는 어떤 부위가 다른 세균들에서는 발견되지 않을 가능성이 높다. 그러나 *phnF* 유전자는 *Sphingomonas* sp. strain HV3 *catE* 유전자의 하류부위(10)와 염기서열 상동성을 비교하였을 경우(Fig. 3) 두 개의 염기를 제외하고는 100% 동일하다. 따라서 이런 두 가지 이유에서 유전자 *phnF*가 어떤 기능을 가지고 있다고 볼 수 있다.

*phnF* 유전자의 기능을 알아보기 위해서 유전자 *phnF*와 *phnE*를 둘 다 가지고 있는 클론 pPH22와 *phnE* 유전자만을 가지고 있는 pPE17에 catechol을 분무하여 노란색 화합물을 합성하는 양상을 비교하였다. 그 결과 pPH22의 경우 catechol 분해양성이 *phnE* 유전자만 있는 pPE17에 비해 노란색 화합물 생성속도가 느린 것으로 관찰되었다. 이와 같은 결과로 볼 때 유전자 *phnF*의 단백질(PhnF)은 catechol 분해에 관여하지 않을까 추측되며, 정확한 작용기작을 이해하기 위하여 현재 실험을 진행 중이다.

## 감사의 말

◎ 연구는 교육부 기초과학 연구비(BSRI-94-4432, BSRI-95-4432)로 수행되었습니다.

## 참고문헌

- Bartilson, M., I. Nordlund and V. Shingler. 1990. Location and gene organization of the dimethylphenol catabolic genes of *Pseudomonas* CF600. *Mol. Gen. Genet.* **220**, 294-300.
- Daniel, R., K. Stuertz and G. Gottschalak. 1995. Biochemical and molecular characterization of the oxidative branch of glycerol utilization by *Citrobacter freundii*. *J. Bacteriol.* **177**, 4392-4401.
- Harayama, S., M. Rekik, A. Wasserfallen and A. Baierach. 1987. Evolutionary relationships between catabolic pathways for aromatics: conservation of gene order and nucleotide sequence of catechol oxidation genes of pWW0 and NAH7 plasmids. *Mol. Gen. Genet.* **210**, 241-247.
- Kim, J.W., C.K. Kim, Y.C. Kim, J.H. Yeum and J.G. Lee. 1987. Isolation and characterization of bacteria degrading chlorinated aromatic hydrocarbons. *Kor. J. Microbiol.* **25**, 122-128.
- Kim, Y.C., K.S. Youn, M.S. Shin, H.S. Kim, M.S. Park and H.J. Park. 1992. Molecular cloning of a gene cluster for phenanthrene degradation from *Pseudomonas* sp. DJ77 and its expression in *Escherichia coli*. *Kor. J. Microbiol.* **30**, 1-7.
- Kim, Y.C., M.S. Shin, K.S. Youn, Y.S. Park and U.H. Kim. 1992. Nucleotide sequence of the *phnE* gene encoding extradiol dioxygenase from *Pseudomonas* sp. strain DJ77. *Kor. J. Microbiol.* **30**, 8-14.
- Sambrook, J., E.F. Fritsch and T. Maniatis. 1989. Molecular cloning: a laboratory manual. 2nd ed. Cold Spring Harbor Laboratory, New York.
- Sanger, R., S. Nicklen and A.R. Coulson. 1977. DNA sequencing with chain-terminating inhibitors. *Proc. Natl. Acad. Sci. USA* **74**, 5463.
- Silhavy, T.J., M.L. Berman and L.W. Enquist. 1984. Experiments with gene fusions. Cold Spring Harbor Laboratory, New York.
- Yarjala, K., L. Paulin, S. Kilpi and M. Romantschuk. 1994. Cloning of *cmpE*, a plasmid borne catechol 2,3-dioxygenase encoding gene from the aromatic and chloroaromatic degrading *Pseudomonas* sp. HV3. *Gene* **138**, 119-121.
- Yen, K.M. and I.C. Gunsalus. 1982. Plasmid gene organization: naphthalene/salicylate oxidation. *Proc. Natl. Acad. Sci. USA* **79**, 874-878.
- Zylstra, J.G. and E.B. Kim. 1995. Molecular and biochemical characterization of two *meta*-cleavage dioxygenases involved in biphenyl and *m*-xylene degradation by *Beijerinckia* sp. strain B1. *J. Bacteriol.* **177**, 3095-3103.

(Received April 30, 1997/Accepted June 15, 1997)

---

## ABSTRACT: Structure and Function of the *phnF* Gene of *Pseudomonas* sp. Strain DJ77

**Seong-Hoon Lee, Sungje Kim, Myung-Soo Shin, Chi-Kyung Kim, Jai-Yun Lim, Ki-Sung Lee<sup>1</sup>, Kyung-Hee Min<sup>2</sup> and Young-Chang Kim\***(School of Life Sciences, Chungbuk National University, Cheongju 361-763, Korea; <sup>1</sup>Department of Biology, Pai-Chai University, Taejon 302-735, Korea; <sup>2</sup>Department of Biology, Sookmyung Womens University, Seoul 140-742, Korea)

The 6.8 kb *Xba*I fragment of chromosomal DNA of *Pseudomonas* sp. DJ77 contains the *phnDEFG* genes involved in the degradation of polycyclic aromatic hydrocarbons and chlorinated aromatics. Here, we report the nucleotide sequence of the ORF encoding a polypeptide consisted of 143 amino acids with a *M<sub>r</sub>* of 13,859. The nucleotide sequence of the ORF is 99% and 68.6% identical to the downstream region of *cate* of *Sphingomonas* sp. strain HV3 and the ORF between *xylE* and *xylG* of *Sphingomonas yanoikuya*e B1, respectively. The deduced amino acid sequence of the *PhnF* has 62.3% identity with the amino acid encoded by *orfY* region of *Citrobacter freundii* DSM30040. We now confirm that the ORF is located between the catechol 2,3-dioxygenase (C23O), *phnE*, and 2-hydroxymuconic semialdehyde dehydrogenase (2HMSD), *phnG*.